

تحقیقات غلات

دوره نهم / شماره سوم / پاییز (۱۳۹۸-۲۰۷)

اثر سمیت آهن بر برخی صفات مرفولوژیک، بیان نسبی ژن *G6PDH* و فعالیت آنزیم پراکسیداز در ژنوتیپ‌های حساس و متحمل برنج (*Oryza sativa L.*)

محمد محسن‌زاده گلفزانی^{۱*}، مریم پسندیده ارجمند^۲، سید حسن حسنی کومله^۳، حبیب‌الله سمیع‌زاده لاهیجی^۴، رسول واحدی^۵ و سحر رمضان‌زاده بیشه‌گاهی^۶

تاریخ پذیرش: ۱۳۹۸/۰۹/۱۲

تاریخ دریافت: ۱۳۹۸/۰۷/۰۱

چکیده

تحت شرایط سمیت آهن، یکی از مهم‌ترین عوامل محدودکننده تولید برنج در زمین‌های کشاورزی، افزایش رادیکال‌های فعال اکسیژن و در نتیجه کاهش رشد و نمو گیاه است. در این پژوهش، اثر سمیت ناشی از آهن در سطوح صفر (شاهد)، ۱۰۰، ۲۵۰، ۴۰۰ و ۵۰۰ میلی‌گرم در لیتر آهن (Fe-EDTA) بر برخی صفات مرفولوژیک، بیان نسبی ژن فتوستنتزی *G6PDH* و فعالیت آنزیم پراکسیداز در دو ژنوتیپ Pokkali (متحمل) و IR64 (حساس) برنج در مرحله چهاربرگی تحت شرایط هیدروپونیک با محلول غذایی یوشیدا بررسی شد. آزمایش به صورت فاکتوریل با دو فاکتور ژنوتیپ و غلظت آهن (بهترتبه با دو و پنج سطح) در قالب طرح کاملاً تصادفی با سه تکرار انجام شد. نتایج نشان داد که برهمکنش سمیت آهن و ژنوتیپ بر تمامی صفات مطالعه شده به جز وزن خشک ریشه، تاثیر معنی‌داری داشت. تجزیه خوش‌های با روش پیوستگی کامل (دورترین همسایه‌ها)، ده تیمار مورد مطالعه را در دو گروه مجزا قرار داد. تجزیه به عامل‌ها نیز نشان داد که ۶۶ درصد از تنوع کل صفات بهوسیله دو عامل مستقل توجیه شد. اعمال تنش سبب کاهش بیان نسبی ژن *G6PDH* در هر دو ژنوتیپ شد، با این تفاوت که در ژنوتیپ Pokkali میزان بیان نسبی این ژن با اعمال سطوح کم تنش کاهش یافت، اما در ژنوتیپ IR64 کاهش بیان این ژن فقط در سطوح بالای تنش اتفاق افتاد. کمترین میزان فعالیت آن بهترتبه در هر دو ژنوتیپ Pokkali و IR64 در غلظت ۱۰۰ میلی‌گرم در لیتر آهن و بیشترین میزان فعالیت آن بهترتبه در سطوح ۴۰۰ و ۲۵۰ میلی‌گرم در لیتر آهن مشاهده شد. بهنظر می‌رسد کاهش بیان ژن *G6PDH* در سطوح کم تنش و افزایش فعالیت آنزیم پراکسیداز در ژنوتیپ متتحمل می‌تواند میزان پراکسیدهیدروژن ناشی از سمیت آهن را کاهش دهد.

واژه‌های کلیدی: Real-Time-PCR، Pokkali، IR64

- ۱- استادیار، گروه بیوتکنولوژی کشاورزی، دانشکده علوم کشاورزی، دانشگاه گیلان، رشت، ایران
- ۲- دانشجوی دکتری، گروه بیوتکنولوژی کشاورزی، دانشکده علوم کشاورزی، دانشگاه گیلان، رشت، ایران
- ۳- دانشیار، گروه بیوتکنولوژی کشاورزی، دانشکده علوم کشاورزی، دانشگاه گیلان، رشت، ایران
- ۴- استاد، گروه بیوتکنولوژی کشاورزی، دانشکده علوم کشاورزی، دانشگاه گیلان، رشت، ایران
- ۵- دانش‌آموخته کارشناسی ارشد، گروه بیوتکنولوژی کشاورزی، دانشکده علوم کشاورزی، دانشگاه گیلان، رشت، ایران
- ۶- دانش‌آموخته کارشناسی ارشد، گروه بیوتکنولوژی کشاورزی، دانشکده علوم کشاورزی، دانشگاه گیلان، رشت، ایران

* نویسنده مسئول: mohsenzadeh_mohammad@yahoo.com

مقدمه

گیاه را کاهش می‌دهد. افزایش فعالیت پراکسیدازها به سمزدایی اکسیژن‌های فعال و پراکسیدهیدروژن کمک می‌کند و از این‌رو تحمل تنفس آهن را ممکن می‌سازد (Mehraban and Abdolzadeh, 2012). در مطالعه دیگری، بررسی میزان فعالیت آنزیم پراکسیداز در پنج ژنوتیپ حساس و متتحمل برنج نشان داد که افزایش میزان فعالیت آنزیم پراکسیداز با مقاومت ژنوتیپ به آهن مرتبط است (Bin *et al.*, 1997).

گلوکز ۶ فسفات دهیدروژناز (G6PDHase, EC 1.1.1.49) محدود کننده سرعت و اولین آنزیم در مسیر اکسیداتیو پنتوز فسفات است که برای کنترل جریان کربن و تولید NADPH جهت رفع نیازهای سلولی در واکنش‌های بیوسنتر و حفظ حالت احیا سلولی ضروری است (Kletzien *et al.*, 1994). نقش مهم G6PDH در تنفس در بسیاری از مطالعات نشان داده شده است (Liu *et al.*, 2007; Wang *et al.*, 2008; Li *et al.*, 2011). در گیاهان عالی، تولید NADPH در کلروپلاست با احیا NADP⁺ در نور همراه است که توسط جریان الکترونی فتوسنتر انجام می‌شود و یا در تاریکی در بافت‌های غیرفتوسنتری به‌وسیله مسیر اکسیداتیو پنتوز فسفات صورت می‌گیرد. در طول دوره روشنایی، کلروپلاست دارای فعالیت فتوسنتری فعال برای حفظ NADPH به عنوان یک متابولیت کلیدی است (Pessarakli, 2019). دوره تاریکی و همچنین در بافت غیرفتوسنتری، تولید NAPDH داخل پلاستیدها به‌طور مستقیم به مسیر اکسیداتیو پنتوز فسفات مرتبط است. در مرحله اول از طریق دو واکنش متواالی، گلوکز-۶-فسفات (Glc6P) به ریبوکس-۵-فسفات (Rub5P) تبدیل می‌شود که با تولید خالص NADPH همراه است. مرحله دوم مسیر غیراکسیداتیو را در بر می‌گیرد و شامل تبادلات پنتوز-فسفات، هگزوز-فسفات، و تریوز-فسفات برای بازسازی Glc6P در چرخه و اتصال آن با گلیکولیز است (Anderson and Advani, 1970; Eicks *et al.*, 2002; Kruger and von Schaewen, 2003). اکسیداسیون گلوکز ۶ فسفات توسط G6PDH سبب تبدیل گلوکز ۶ فسفات به ۶ فسفوگلوکونولاکتون و تولید یک NADPH می‌شود. لاکتون توسط یک لاکتوناز خاص به ۶ فسفوگلوکونات هیدرولیز می‌شود که سپس توسط دهیدروژناز خاص به نام ۶ فسفوگلوکونات دهیدروژناز دچار اکسیداسیون و دکربوکسیلاسیون می‌شود و ریبوکس-۵ فسفات

برنج مهم‌ترین غله در جهان است که یک سوم منبع کربوهیدرات‌های بدن انسان را تامین می‌کند (Kibria *et al.*, 2017). سمیت آهن یکی از مهم‌ترین عوامل محدودکننده تولید برنج در خاک‌های اسیدی است (Finatto *et al.*, 2015). با این‌که آهن عنصری ضروری برای گیاهان محسوب می‌شود و نقش مهمی در فتوسنتر، انتقال الکترون و واکنش‌های اکسایشی دارد (Finatto *et al.*, 2015)، اما افزایش بیش از حد آن می‌تواند سبب ایجاد سمیت در گیاهان شود (De Dorlodot *et al.*, 2005). گیاهان پس از قرارگیری در شرایط تنفس‌های محیطی می‌توانند سیگنانال‌هایی را از طریق ریشه و بخش شاخساره هدایت کنند. پاسخ به این پیام‌ها می‌تواند در نهایت سبب سازگاری با عامل تنفس‌زا شود. کاهش رشد شاخساره و ریشه و تغییر در نحوه توزیع مواد توسط آن، سبب تغییر پیام‌های فرستاده شده بین ریشه و شاخساره می‌شود (Lipiec *et al.*, 2013).

پراکسیدازها گروه بزرگی از آنزیم‌های دفاعی هستند که در گیاهان در پاسخ به تنفس‌های زیستی و غیرزیستی تولید می‌شوند (Bowler *et al.*, 1992). این گروه از آنزیم‌ها در سیتوزول، واکوئل، کلروپلاست و آپوپلاست وجود دارند (Kjalke *et al.*, 1992). آنزیم پراکسیداز موجب شکسته شدن پراکسیدهیدروژن در سلول می‌شود و بنابراین از تولید ROS‌ها جلوگیری می‌کند و در نتیجه با بالا رفتن سطح فعالیت این آنزیم، گیاه کمتر دچار آسیب خواهد شد. به عبارت دیگر، آنزیم پراکسیداز با تجزیه H₂O₂ به آب و O₂ می‌تواند آثار مخرب آن را خنثی کند (Bowler *et al.*, 1992). فعالیت پراکسیداز را به آسانی می‌توان در تمام طول عمر گیاهان مختلف از مراحل اولیه جوانهزنی تا مرحله پیری از طریق کنترل طویل‌شدن یاخته‌ای، مکانیسم‌های دفاعی و چندین عملکرد دیگر تشخیص داد. این آنزیم در بسیاری از فرایندهای سلولی از قبیل متابولیسم اکسین، تشکیل چوب، اتصالات عرضی در دیواره سلول گیاهی، پاسخ به تنفس‌های محیطی و نظایر آن شرکت می‌کند (Yamasaki *et al.*, 1997).

در آزمایشی الگوی الکتروفورزی آنزیم پراکسیداز در برگ برنج بررسی و مشاهده شد که تنفس آهن با افزایش پراکسیدهیدروژن سبب کاهش پروتئین و افزایش پراکسیداسیون لیپیدهای غشایی می‌شود و در نتیجه رشد

و بررسی بیان نسبی ژن *G6PDH* و فعالیت آنزیم پراکسیداز انجام شد.

اندازه‌گیری صفات مورفولوژیک طول اندام هوایی و ریشه

طول ساقه از یقه تا انتهای ساقه و طول ریشه از یقه تا انتهای ریشه برای نمونه‌های تحت سمیت آهن و شاهد در سه تکرار با استفاده از خطکش اندازه‌گیری و مقادیر آن بر اساس سانتی‌متر گزارش شد.

وزن تر و خشک اندام هوایی و ریشه

وزن تر اندام هوایی و ریشه برای هر کدام از نمونه‌های تحت سمیت آهن و شاهد در سه تکرار توسط ترازوی دیجیتال با دقت ۰/۰۰۰۱ گرم توزین شد. برای اندازه‌گیری وزن خشک اندام هوایی و ریشه، نمونه‌ها به‌طور جداگانه در ورقه‌های کاغذی بسته‌بندی و به مدت ۴۸ ساعت در آون در دمای ۷۰ درجه سلسیوس قرار داده و سپس توزین شدند.

اختلاف وزن تر و خشک اندام هوایی و ریشه

پس از اندازه‌گیری وزن تر و خشک ریشه و اندام هوایی بر حسب گرم، وزن آب موجود در نمونه‌ها (WW) با تفریق وزن خشک (DW) از وزن تر (FW) ریشه و اندام هوایی به‌طور جداگانه در سه تکرار با استفاده از رابطه (۱) محاسبه و یادداشت شد:

$$WW = FW - DW \quad (1)$$

محاسبه ضریب آلومتریک

نسبت طول ریشه‌چه (RL) به طول اندام هوایی (SL) نمونه‌های تحت سمیت آهن و شاهد در هر دو ژنوتیپ حساس و متتحمل به عنوان ضریب آلومتریک (AC) از طریق رابطه (۲) محاسبه شد:

$$AC = \frac{RL}{SL} \quad (2)$$

اندازه‌گیری سطح برگ

سطح برگ نمونه‌های تحت سمیت آهن و شاهد با Leaf Area Meter، استفاده از دستگاه سطح برگ‌سنجد (Delta T Device UK) در سه تکرار اندازه‌گیری شد.

اندازه‌گیری فعالیت آنزیم پراکسیداز

به‌منظور اندازه‌گیری فعالیت آنزیم پراکسیداز، با فر استخراج عصاره آزمیم تهیه شد (Mehrabani et al., 2008). ابتدا ۰/۶۸ گرم نمک پتاسیم دی‌هیدروژن

و NADPH را تولید می‌کند (Nelson and Cox, 2000). اکسیداسیون Glc6P توسط Glc6PDHase یک نقطه کنترل استراتژیک است که آنزیم تحت تاثیر نسبت NADP به NADPH pH، Mg^{2+} غلظت و سطوح Glc6P قرار می‌گیرد. با توجه به نقش فیزیولوژیک Glc6PDHase در کلروپلاست، این آنزیم فقط در مرحله تاریکی و زمانی فعال می‌شود که منبع NADPH به وسیله جریان الکترون فتوسنتزی متوقف می‌شود (Pessarakli, 2019).

با توجه به اهمیت بررسی مکانیسم‌های سمزدایی در ژنوتیپ‌های حساس و متتحمل برنج، این پژوهش انجام شد که هدف از آن، بررسی اثر سمیت آهن بر برخی ویژگی‌های مورفولوژیک، بیان نسبی ژن فتوسنتزی G6PDH و فعالیت آنزیم آنتی‌اکسیدان پراکسیداز تحت شرایط تنفس و بدون تنفس آهن بود.

مواد و روش‌ها

مواد گیاهی، شرایط رشدی و سمیت آهن

به‌منظور بررسی و مقایسه میزان فعالیت آنزیم پراکسیداز کل، بذر دو ژنوتیپ Pokkali و IR64 برنج Dufey به ترتیب به عنوان ژنوتیپ‌های متتحمل و حساس (et al., 2009; Wu et al., 2014) از موسسه تحقیقات برنج کشور تهیه و با استفاده از هیپوکلریت سدیم ۲/۵ درصد ضدغ Fonni و سپس با آب مقطر شسته شد. بذرها برای جوانه‌زنی در پتری‌دیش مرطوب استریل در اتافک کشت قرار گرفتند. پس از گذشت چهار روز، بذرهای جوانه‌زده به محیط کشت هیدرопونیک با محلول غذایی یوشیدا انتقال داده شدند (Yoshida et al., 1976). در طول دوره رشد، دما و روشناهی اتافک رشد به ترتیب ۲۳ درجه سلسیوس و ۵۵۰۰ لوکس بود. آزمایش به صورت فاکتوریل در قالب طرح کاملاً تصادفی با سه تکرار انجام شد. فاکتورها شامل ژنوتیپ (حساس و متتحمل) و سطوح آهن (صفر، ۱۰۰، ۲۵۰، ۴۰۰ و ۵۰۰ میلی‌گرم در لیتر Fe-EDTA) و جماعتی ده تیمار بود و اعمال تیمارها در مرحله چهاربرگی انجام شد (Mehraban et al., 2008). تعویض محلول یوشیدا و تنظیم اسیدیته آن به صورت روزانه بین ۵/۵ تا ۶ با اسید سولفوریک (H2SO4) و پتاسیم هیدروکسید (KOH) انجام شد. پس از دو هفته تیماردهی با آهن، نمونه‌برداری از برگ‌های سالم گیاه برنج به‌طور همزمان جهت اندازه‌گیری برخی صفات مورفولوژیک

G6PDH

بررسی بیان نسبی ژن *G6PDH* به منظور مطالعه بیان نسبی ژن *G6PDH* برگ‌های سالم، جوان و کاملاً توسعه‌یافته از گیاهان برنج که به مدت دو هفته تحت تیمارهای مختلف آهن (۱۰۰، ۲۵۰، ۴۰۰ و ۵۰۰ میلی‌گرم در لیتر Fe-EDTA) قرار داشتند و نیز نمونه‌های شاهد که محیط رشد آن‌ها فاقد سمیت آهن بود، انتخاب شدند. نمونه‌های برگی از گیاهان جدا شدند و پس از قرار گرفتن در ورقه‌های آلومینیومی با ضخامت متوسط، در ازت مایع غوطه‌ور شدند. نمونه‌ها به فریزر نگهداری سلسیوس منتقل و تا زمان استخراج در فریزر نگهداری شدند. به منظور استخراج RNA از کیت ستون دار دنازیست (S-1010) مطابق با دستورالعمل مربوطه استفاده شد. جهت حذف DNA با قیمانده، پس از اضافه RNA کردن مقدار ۲ میکرولیتر بافر و آنزیم DNase به استخراج شده، به مدت ۳۰ دقیقه در دمای ۳۷ درجه سلسیوس در دستگاه PCR قرار داده شد. سپس مقدار ۲ میکرولیتر EDTA به آن اضافه شد و مجدداً به مدت ۱۰ دقیقه در دمای ۶۵ درجه سلسیوس در دستگاه PCR قرار داده شد. سنتز cDNA بر اساس دستورالعمل کیت سنتز فرمنتاز (Fermrntas LIFE SCIENCE-K1621) انجام شد. کنترل سنتز cDNA نیز با استفاده از ژن اکتین برای همه نمونه‌ها انجام شد. به منظور بررسی وجود آلدگی در cDNA سنتز شده از واکنش کنترل منفی که شامل همه مواد موردنیاز واکنش زنجیره‌ای پلیمراز به‌غیر از cDNA بود، استفاده شد. به منظور کنترل کیفیت و کمیت cDNA به ترتیب از الکتروفورز افقی (۲ درصد) با نشانگر اندازه ۵۰-۱۵۰۰ bp سیناژن (SL7021-PR901633) و نانوراب استفاده شد. توالی ژن‌های *G6PDH* و اکتین از بانک اطلاعاتی NCBI جمع‌آوری و آغازگرهای اختصاصی با استفاده از برنامه Tcoffee و Primer3 طراحی شد (جدول ۱). در نهایت جهت اطمینان از صحت طراحی آغازگرهای اختصاصی، BLAST آغازگرهای صورت گرفت.

تجزیه داده‌ها

آزمایش به صورت فاکتوریل با دو عامل ژنتیک و سطوح تنش در قالب طرح کاملاً تصادفی با سه تکرار در شرایط کنترل شده انجام شد. تجزیه داده‌ها شامل تجزیه واریانس، تجزیه خوش‌بایی و تجزیه به عامل‌ها با استفاده از نرم‌افزارهای آماری SAS و SPSS انجام شد. همچنین برای پیش‌بینی نقاط دیگر جهت بررسی فعالیت آنزیم،

فسفات به همراه ۲ گرم PVPP و Na-EDTA در ۵۰ میلی‌لیتر آب مقطر حل و به حجم ۱۰۰ میلی‌لیتر رسانده شد. سپس ۰/۸۷ گرم نمک پتاسیم مونو هیدروژن فسفات به همراه ۲ گرم PVPP و Na-EDTA در ۵۰ میلی‌لیتر آب مقطر حل شد و به حجم ۱۰۰ میلی‌لیتر رسانده شد. در هر بار آزمایش، ۳۹ میلی‌لیتر از محلول اول با ۶۱ میلی‌لیتر از محلول دوم مخلوط و اسیدیته آن با استفاده از pH متر و با کمک پتاسیم هیدروکسید (KOH) و اسید فسفریک (H_3PO_4) در محدوده ۶/۸ تا ۷/۲ تنظیم شد. برگ‌های فریز شده در هاون چینی محتوای ازت مایع به خوبی ساییده شد. سپس ۰/۵ گرم از پودر برگ آسیاب شده به میکروتیوب‌های ۲ میلی‌لیتری منتقل شد و پس از افزودن یک میلی‌لیتر از بافر استخراج، با شیکر لوله (ورتکس) به خوبی مخلوط شد و سپس به مدت ۱۵ دقیقه در ۱۴۰۰ دور در دقیقه و دمای چهار درجه سلسیوس سانتریفیوژ شد. سپس فاز رویی محلول برداشته شد و به میکروتیوب ۱/۵ میلی‌لیتری منتقل شد و مجدداً به مدت ۱۰ دقیقه در ۱۴۰۰ دور در دقیقه و دمای چهار درجه سلسیوس سانتریفیوژ شد. مجدداً فاز رویی محلول به میکروتیوب دیگری منتقل و در فریزر -۷۰- قرار داده شد. از این عصاره آنزیمی برای اندازه‌گیری میزان فعالیت آنزیم پراکسیداز استفاده شد. برای این منظور ابتدا بافر آب اکسیژنه به عنوان سوبسکترای آنزیم با غلظت‌های مختلف از پراکسیدهیدروژن شامل ۱۵۰، ۲۰۰، ۲۲۵، ۲۵۰ و ۲۷۵ میلی‌مولار در هر بار اندازه‌گیری تهیه و با کمک بافر فسفات ۵۰ میلی‌مولار با اسیدیته ۶/۸ تا ۷/۲ به حجم ۲۰ میلی‌لیتر رسانده شد. همچنین بافر گایکول ۴۵ میلی‌مولار نیز به عنوان سوبسکترای دوم تهیه و توسط بافر فسفات به حجم ۲۰ میلی‌لیتر رسانده شد. سنجش فعالیت آنزیم پراکسیداز توسط دستگاه اسپکتروفوتومتر (Biochrom 80-2115-20) در طول موج ۴۷۰ نانومتر برای مدت دو دقیقه انجام شد. بلانک با حجم ۹۰۰ میکرولیتر حاوی ۸۹۱ میکرولیتر از بافر فسفات ۵۰ میلی‌مولار انجام شد. برای اندازه‌گیری میزان فعالیت آنزیم پراکسیداز نمونه‌ها، از ۸۹۱ میکرولیتر بافر آب اکسیژنه و ۹ میکرولیتر از عصاره آنزیمی استفاده و در نهایت، سرعت واکنش آنزیمی نیز به صورت تغییرات جذب طی زمان (OD/min) در طول موج ۴۷۰ نانومتر در دو دقیقه ثبت شد (Mohsenzadeh et al., 2017).

تجزیه خوشهای

جهت تعیین میزان شباهت‌ها و تفاوت‌های بین تیمارهای مورد مطالعه و گروه‌بندی آن‌ها از نظر کلیه صفات، تجزیه خوشهای تیمارهای تیمارها با روش‌های مختلف شامل متوسط فاصله بین و درون گروه‌ها، نزدیک‌ترین و دورترین همسایه‌ها و روش حداقل واریانس "وارد" انجام شد و گروه‌بندی حاصل از آن‌ها مورد بررسی قرار گرفت. از آنجایی که روش پیوستگی کامل (دورترین همسایه‌ها) بهترین نتیجه را در گروه‌بندی تیمارهای مورد مطالعه ارایه داد، بنابراین تنها نتایج این روش گزارش شد (شکل ۱). بررسی گروه‌های حاصل نشان داد که گروه اول شامل تیمارهای مختلف Pokkali و گروه دوم شامل تیمارهای مختلف IR64 می‌باشد که نشان‌دهنده یکسان بودن پاسخ این ژنوتیپ‌ها به تیمارهای مختلف آهن است.

تجزیه رگرسیون با استفاده از نرم‌افزار SPSS (نسخه ۲۳) انجام و نمودار رگرسیون با استفاده از نرم‌افزار Excell (Mohsenzadeh *et al.*, 2017) برای مقایسه حداکثر فعالیت آنزیمی از خطای معیار میانگین (Standard Error) استفاده شد. بهمنظور بررسی بیان ژن فعالیت آنزیم در تیمارهای مختلف و مقایسه آن‌ها نیز سطح معنی‌دار بیولوژیک برابر با دو برابر فعالیت آنزیمی و بیان ژن در نظر گرفته شد.

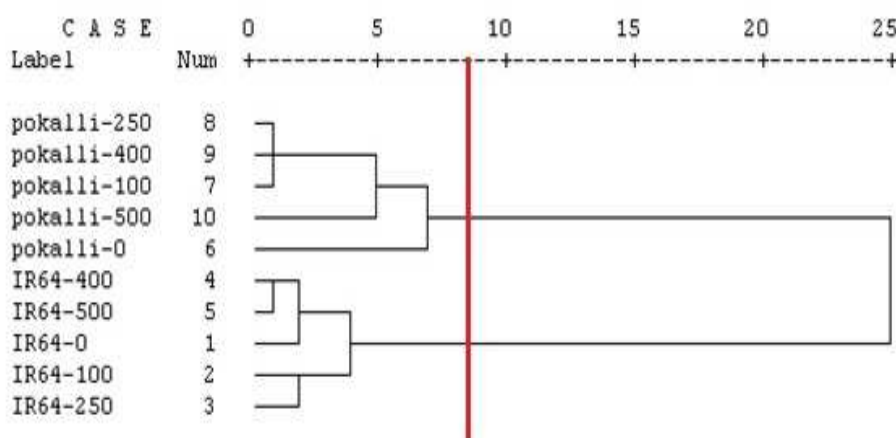
نتایج و بحث

نتایج تجزیه واریانس داده‌ها نشان داد که در تمامی صفات مورد مطالعه به جز وزن خشک ریشه، برهمکنش ژنوتیپ و غلظت آهن در سطح احتمال پنج درصد و برای وزن خشک ریشه، اثر ساده غلظت آهن و برهمکنش ژنوتیپ و غلظت در سطح احتمال یک درصد معنی‌دار بود (نتایج نشان داده نشده است).

جدول ۱- توالی آغازگرهای مورد استفاده برای بررسی بیان نسبی ژن‌های اکتین و G6PDH در پاسخ به سمیت آهن در برنج

Table 1. Primer sequences used for relative expression of actin and G6PDH genes in response to iron toxicity stress in rice

Gene	Sequence	Annealing temperature (°C)	Size (bp)
Actin-F	AGCAACTGGGATGACATGGA	58	176
Actin-R	GCRACATACATRGCWGGSAC		
G6PDH-F	GTCGATGTGGTGAGATCTGC	60	188
G6PDH-R	TTCTAACCAACCAGCTCCTTCCC		



شکل ۱- تجزیه خوشهای ژنوتیپ‌های برنج مورد مطالعه بر اساس معیار ضریب تطبیق ساده و روش پیوستگی کامل (دورترین همسایه‌ها)

Figure 1. Cluster analysis of the studied rice genotypes using simple matching coefficient and complete linkage (farthest neighbors) method

تجزیه عاملی

عامل دوم به عنوان ویژگی ریشه نام‌گذاری شد و در آن صفات وزن تر ریشه، وزن خشک ریشه و اختلاف وزن تر از وزن خشک ریشه به همراه سطح برگ دارای ضرایب مثبت و بالا بودند. ضرایب بالای این صفات در عامل دوم نشان می‌دهد که این صفات دارای همبستگی بالایی با هم هستند و انتخاب بر اساس این عامل می‌تواند در بهبود وزن ریشه و حتی سطح برگ مفید واقع شود. در عامل سوم نیز که به عنوان ویژگی وزن اندام هوایی نام‌گذاری شد، سه صفت وزن تر و خشک اندام هوایی و اختلاف وزن تر و وزن خشک اندام هوایی دارای ضرایب معنی‌دار و مثبت بودند و بنابراین امکان بهبود ویژگی‌های وزن اندام هوایی بر اساس این عامل وجود دارد.

تجزیه به عامل‌ها، علاوه بر تفسیر ضرایب همبستگی و گروه‌بندی صفات در قالب عامل‌های مشترک، به منظور گروه‌بندی تیمارها نیز استفاده شد. پراکنش دوگانه بر اساس عامل‌های اول و دوم در شکل ۲ ارایه شده است. از آن جایی که ویژگی‌های مورفو‌لوزیک برنج از اهمیت زیادی برخوردار است، بنابراین تیمارهایی که دارای مقادیر بالای عامل‌های اول و دوم هستند، مطلوب می‌باشند. بنابراین ناحیه اول به عنوان ناحیه مطلوب و ناحیه سوم به عنوان ناحیه نامطلوب است. نتایج این آزمایش تحت شرایط تنش آهن نیز نشان داد که ژنوتیپ Pokkali عملکرد بهتری داشته و برتر از ژنوتیپ IR64 بوده است.

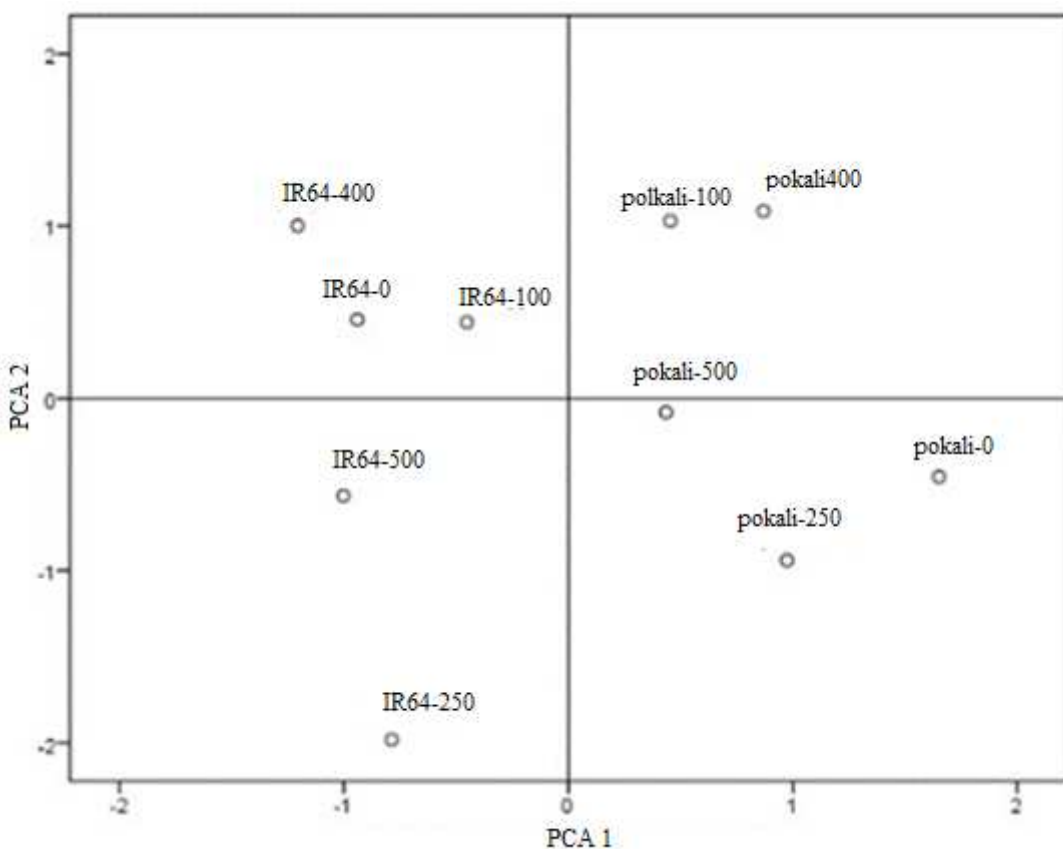
بر اساس نتایج تجزیه عاملی، تعداد سه عامل اصلی و مستقل با مقادیر ویژه بیش از یک استخراج شدند که در مجموع توانستند ۸۶/۴۳ درصد از تنوع کل داده‌ها را توجیه کنند (جدول ۲). ضرایب عاملی صفات مورد مطالعه در هر یک از این عامل‌ها پس از چرخش وریمکس همراه با واریانس مشترک (Communality) و مقادیر ریشه‌های مشخصه، درصد واریانس هر عامل و درصد واریانس تجمعی هر سه عامل در توجیه واریانس کل در جدول ۲ ارایه شده است. بالا بودن واریانس مشترک بیشتر صفات نشان‌دهنده انتخاب تعداد مناسب عامل‌ها می‌باشد، زیرا واریانس مشترک در حقیقت قسمتی از واریانس یک صفت است که به وسیله عامل‌های شناسایی شده توجیه می‌شود و بالا بودن آن، دقت بالای انتخاب عامل‌ها و برآورد واریانس صفت را نشان می‌دهد. در این مطالعه، ضرایب عاملی بیشتر از ۰/۵ به عنوان ضرایب معنی‌دار و موثر بر مدل در نظر گرفته شدند.

در عامل اول، طول اندام هوایی، طول ریشه و اختلاف وزن تر از وزن خشک اندام هوایی دارای ضرایب منفی و بالا و نسبت طول ریشه به اندام هوایی دارای ضریب مثبت بالای بودند. بنابراین انتخاب این عامل که به عنوان طول گیاه (اندام هوایی و ریشه) در نظر گرفته شد، جهت بهبود یا اصلاح گیاه از نظر ارتفاع کارآیی لازم را خواهد داشت.

جدول ۲- نتایج تجزیه به عامل‌ها برای کلیه صفات مطالعه شده در این تحقیق

Table 2. The results of principal component analysis for all studied traits in this study

Characteristics	Factors			
	1	2	2	Communality
Shoot length	-0.882	-0.205	0.226	0.872
Root length	-0.755	-0.074	0.375	0.716
Root/Shoot length ratio	0.976	-0.005	-0.035	0.953
Root fresh weight	0.028	0.970	0.071	0.948
Root dry weight	0.328	0.899	0.103	0.926
Difference of root fresh and dry weight	-0.216	0.921	-0.163	0.923
Shoot fresh weight	-0.417	-0.172	0.854	0.932
Shoot dry weight	0.256	0.131	0.919	0.928
Difference of shoot fresh and dry weight	-0.725	-0.035	0.619	0.909
Leaf area	0.481	0.543	-0.101	0.536
Eigen value	3.450	2.988	2.204	
Variance (%)	34.520	29.875	22.037	
Cumulative variance (%)	34.520	64.395	86.432	



شکل ۲- نمودار بایپلات تجزیه به عامل‌ها بر اساس مولفه‌های اول و دوم جهت گروه‌بندی تیمارهای مورد مطالعه. اعداد صفر، ۱۰۰، ۲۵۰، ۴۰۰ و ۵۰۰ در جلوی ژنتیپ‌ها، غلظت‌های آهن را نشان می‌دهند.

Figure 2. Scatter plot of factor analysis based on first and second factors for grouping studied treatments. The numbers 0, 100, 250, 400 and 500 along with the genotypes indicate iron concentrations.

میلی‌گرم در لیتر آهن دارای سطح برگ بیشتری نسبت به ژنتیپ IR64 بود. وزن خشک ریشه نیز در هر دو ژنتیپ با اعمال سطوح تنفس ۲۵۰ و ۵۰۰ میلی‌گرم در لیتر آهن کاهش یافت. با اعمال تنفس، رشد ریشه و در نتیجه آن وزن خشک ریشه کاهش می‌یابد. گیاه در برابر تنفس ترجیح می‌دهد بیشتر فتوسنتر خود را به تجمع ماده خشک در ریشه اختصاص دهد تا این ماده را در ساقه و اندام هوایی ذخیره کند، زیرا با این کار توانایی خود را برای جذب مقدار بیشتری از آب موجود در خاک حفظ خواهد کرد (Asseng *et al.*, 1998). از این‌رو، محققان گزارش کردند که نسبت بالاتر ریشه (اندام جذب‌کننده) به اندام هوایی (اندام مصرف‌کننده) توان گیاه را برای تحمل شرایط تنفس بهبود می‌بخشد (Puangbut *et al.*, 2009; Ganjeali *et al.*, 2011). بنابراین، در کل IR64 به عنوان ژنتیپ مقاوم در نظر گرفته شد (Wu *et al.*, 2014).

کاهش رشد برنج به عوامل مختلفی از جمله تنفس ناشی از سمیت مواد غذایی بستگی دارد. مسمومیت آهن یکی از اصلی‌ترین اختلالات تغذیه‌ای است که عملکرد برنج را محدود می‌کند (Fageria *et al.*, 2008). به غیر از صفات طول ریشه، طول ریشه‌چه به ساقه‌چه و وزن تر ریشه، سایر صفات در تیمار شاهد معنی‌دار نبودند. ژنتیپ Pokkali در صفات وزن تر و وزن خشک اندام هوایی در تمامی سطوح نسبت به شاهد خود اختلاف معنی‌داری نشان داد. همچنین این ژنتیپ در صفات وزن تر ریشه، وزن خشک ریشه و اختلاف وزن تر از وزن خشک اندام هوایی در تمامی تیمارها به جز تیمار ۵۰۰ میلی‌گرم در لیتر آهن نسبت به شاهد اختلاف معنی‌داری داشت. اختلاف وزن تر از وزن خشک اندام هوایی در تمامی سطوح در ژنتیپ Pokkali نسبت به ژنتیپ دیگر کمتر بود، اما در صفت سطح برگ، به جز تیمار شاهد و غلظت ۱۰۰ میلی‌گرم در لیتر آهن، در سطوح ۲۵۰، ۴۰۰ و ۵۰۰

بیان نسبی ژن G6PDH

اعمال تنش سبب کاهش معنی‌دار بیان این ژن در هر دو ژنوتیپ شد، با این تفاوت که در ژنوتیپ Pokkali با اعمال سطوح کم تنش میزان بیان نسبی این ژن کاهش یافت تا از خسارات ناشی از تنش اکسیداتیو ممانعت به عمل آید، در حالی که در ژنوتیپ IR64 غلظت بالاتر تنش، بیان ژن کاهش یافت. احتمالاً ژنوتیپ IR64 با کاهش بیان این ژن در سطوح بالای تنش آهن سعی در رفع تنش‌های ناشی از تنش اکسیداتیو دارد. با این تفاوت که کاهش بیان این ژن فقط در سطوح بالای تنش ایجاد می‌شود که این می‌تواند یکی از دلایل حساسیت این ژنوتیپ به سمیت ناشی از تنش آهن باشد (Ho *et al.*, 2007).

فعالیت آنزیم پراکسیداز

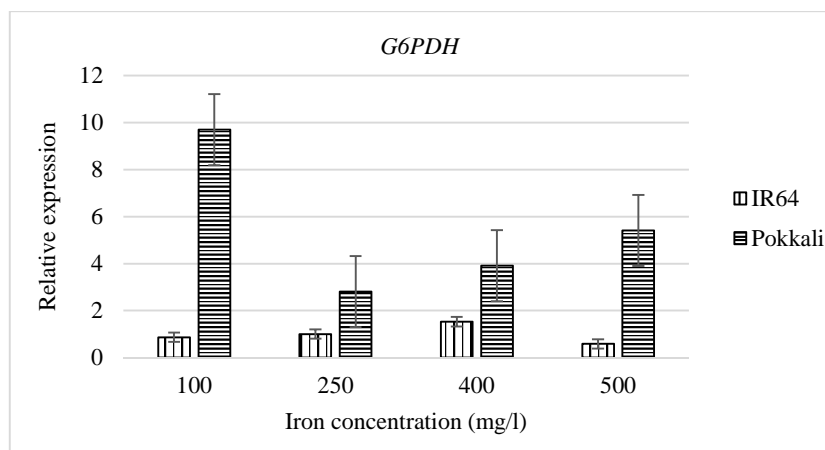
کمترین میزان فعالیت آنزیم پراکسیداز در هر دو ژنوتیپ Pokkali و IR64 در غلظت ۲۵۰ میلی‌گرم در لیتر آهن مشاهده شد، اما بیشترین میزان فعالیت این آنزیم در ژنوتیپ Pokkali در غلظت ۱۰۰ میلی‌گرم در لیتر آهن و در ژنوتیپ IR64 در سطح شاهد و سپس ۵۰۰ میلی‌گرم در لیتر آهن صورت گرفت (شکل‌های ۴ و ۵). بیشترین میزان فعالیت آنزیم پراکسیداز در نمونه‌های شاهد Pokkali و IR64 به ترتیب در غلظت ۳۶۰ و ۳۷۰ میلی‌مولاًر بود. میزان فعالیت آنزیم پراکسیداز در سطوح تنش ۲۵۰ و ۴۰۰ میلی‌گرم در لیتر آهن در ژنوتیپ Pokkali کمتر از نمونه شاهد بود و به ترتیب در غلظت‌های ۳۵۰ و ۴۰۰ میلی‌مولاًر پراکسیدهیدروژن به اشباع رسید، اما سطوح ۱۰۰ و ۵۰۰ میلی‌گرم در لیتر آهن در ژنوتیپ Pokkali به ترتیب در غلظت‌های ۳۹۰ و ۴۱۰ میلی‌مولاًر پراکسیدهیدروژن به بیشترین حد خود رسید (شکل ۴).

ژنوتیپ IR64 که تحت تیمار ۱۰۰، ۲۵۰ و ۴۰۰ میلی‌گرم در لیتر آهن بود، زودتر از نمونه‌های شاهد به نقطه اشباع آنزیمی رسید به طوری که بیشترین میزان فعالیت آنزیمی آن‌ها به ترتیب در ۳۳۰، ۴۰۰ و ۳۶۰ میلی‌مولاًر پراکسیدهیدروژن بود. این در حالی است که تیمار ۵۰۰ میلی‌گرم در لیتر آهن ژنوتیپ IR64 در ۳۵۰ میلی‌مولاًر پراکسیدهیدروژن به حداقل فعالیت آنزیم پراکسیداز رسید (شکل ۵).

بیشترین میزان بیان نسبی ژن G6PDH در ژنوتیپ Pokkali در غلظت ۱۰۰ میلی‌گرم در لیتر آهن مشاهده شد. با افزایش غلظت تنش آهن از ۱۰۰ به ۲۵۰ میلی‌گرم در لیتر، میزان بیان نسبی ژن G6PDH در ژنوتیپ Pokkali کاهش یافت، اما اعمال سطوح ۱۰۰، ۲۵۰ و ۴۰۰ میلی‌گرم در لیتر آهن در ژنوتیپ IR64 تفاوت معنی‌داری در بیان این ژن ایجاد نکرد و فقط با افزایش بیشتر تنش به ۵۰۰ میلی‌گرم در لیتر آهن سبب کاهش بیان این ژن در این ژنوتیپ شد (شکل ۳). افزایش میزان IR64 بیان ژن‌های دیگر در ژنوتیپ Pokkali نسبت به قبلاً توسط پژوهش‌گران دیگری نیز گزارش شده است (Mohsenzadeh Golfazani *et al.*, 2018; Vahedi *et al.*, 2019).

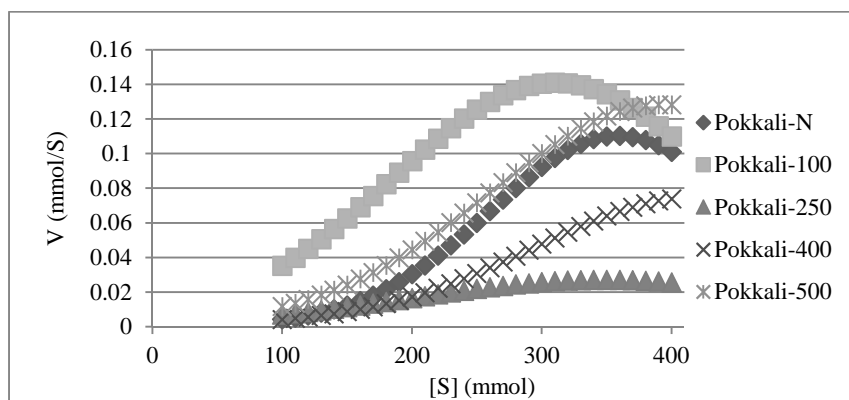
با توجه به نقش فیزیولوژیک Glc6PDHase در کلروپلاست، این آنزیم فقط در تاریکی و زمانی که منبع NADPH به‌وسیله جریان الکترون فتوسنتزی متوقف شود، فعال می‌شود (Pessarakli, 2019). تحت شرایط تنش، به‌دلیل توقف واکنش کالوین و عدم مصرف ATP و NADPH، میزان آن در سلول افزایش می‌یابد و گیاه با NADPH اجرای مکانیزم‌های مختلف سعی بر کاهش NADPH ناشی از افزایش NADPH جلوگیری کند و اگر میزان بیان این ژن زیاد باشد، گیاه با تنش اکسیداتیو رو به رو می‌شود. احتمالاً در ژنوتیپ متحمل برای کاهش خسارات ناشی از تنش اکسیداتیو، میزان بیان نسبی این ژن در حدود سه برابر کاهش می‌یابد.

به‌طور کلی، اعمال تنش آهن سبب کاهش معنی‌دار بیان ژن G6PDH در هر دو ژنوتیپ Pokkali و IR64 شد. میزان بیان نسبی این ژن در ژنوتیپ Pokkali در غلظت ۱۰۰ میلی‌گرم در لیتر آهن زیاد بود، اما با افزایش غلظت تنش، میزان بیان نسبی این ژن کاهش یافت. به هر حال، میزان بیان نسبی ژن G6PDH در غلظت ۱۰۰ و ۵۰۰ میلی‌گرم در لیتر آهن در ژنوتیپ Pokkali به ترتیب در حدود ۱۱ و ۹ برابر بیشتر از ژنوتیپ IR64 و در سطوح ۲۵۰ و ۴۰۰ میلی‌گرم در لیتر آهن در حدود سه برابر بیشتر از ژنوتیپ IR64 بود. این در حالی بود که



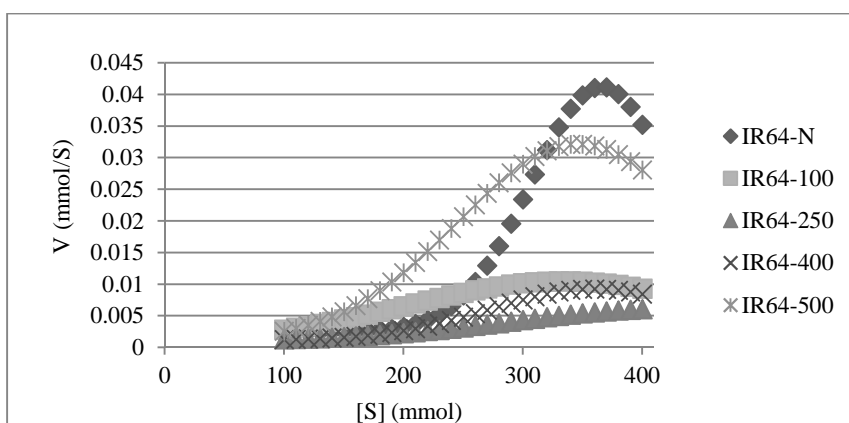
شکل ۳-الگوی بیان ژن G6PDH با روش Real time PCR تحت تنش سمیت آهن در گیاهچه‌های IR64 و Pokkali

Figure 3. Expression pattern of *G6PDH* gene using real-time PCR under iron toxicity stress in IR64 and Pokkali seedlings



شکل ۴- سرعت واکنش آنزیم پراکسیداز در ژنوتیپ Pokkali در غلظت‌های مختلف پراکسیدهیدروژن و سطوح مختلف آهن. اعداد صفر، ۱۰۰، ۲۵۰، ۴۰۰ و ۵۰۰ در جلوی ژنوتیپ‌ها، غلظت‌های آهن را نشان می‌دهند.

Figure 4. Reaction rate of the peroxidase (POD) enzyme in Pokkali genotype at different H_2O_2 and iron concentrations. The numbers 0, 100, 250, 400 and 500 along with the genotypes indicate iron concentrations.



شکل ۵- سرعت واکنش آنزیم پراکسیداز در ژنوتیپ IR64 در غلظت‌های مختلف پراکسیدهیدروژن و سطوح مختلف آهن. اعداد صفر، ۱۰۰، ۲۵۰، ۴۰۰ و ۵۰۰ در جلوی ژنوتیپ‌ها، غلظت‌های آهن را نشان می‌دهند.

Figure 5. Reaction rate of the peroxidase (POD) enzyme in IR64 genotypes at different H_2O_2 and iron concentrations. The numbers 0, 100, 250, 400 and 500 along with the genotypes indicate iron concentrations.

این ژنوتیپ زودتر به حالت اشبع آنزیمی رسیدند (شکل ۵). بنابراین میزان فعالیت آنزیمی با وجود تیمارهای آهن در این سطوح کمتر از شاهد بود. احتمالاً تحت تیمار آهن، ژنوتیپ IR64 نسبت به ژنوتیپ Pokkali پاسخ کندری در برابر سمیت آهن برای تولید آنزیم پراکسیداز دارد. اعمال تنش‌های غیرزیستی مانند شوری، خشکی، نور بیش از حد و فلزات سنگین نیز سبب افزایش میزان آنتیاکسیدان‌های آنزیمی و غیرآنژیمی شدند (Caverzan et al., 2012).

فعالیت آنزیمی در ژنوتیپ IR64 در بین سطوح مختلف تیمار با آهن، فقط در غلظت ۵۰۰ میلی‌گرم در لیتر آهن نسبت به شاهد افزایش یافت و حداقل فعالیت آنزیم در غلظت ۳۵۰ میلی‌مولار H_2O_2 مشاهده شد. این در حالی بود که حداقل فعالیت آنزیمی در تیمار شاهد در غلظت ۳۷۰ میلی‌مولار مشاهده شد (شکل ۵). نتایج تحقیقات فانگ و کاؤ (Fang and Kao, 2000) نشان داد که سمیت ناشی از آهن سبب افزایش فعالیت آنزیم پراکسیداز در برگ برنج می‌شود. در آزمایش دیگری، اعمال تنش شدید آهن به مدت ۷۲ ساعت در برنج سبب افزایش فعالیت آنزیم‌های آنتیاکسیدانی شد (Majerus et al., 2007).

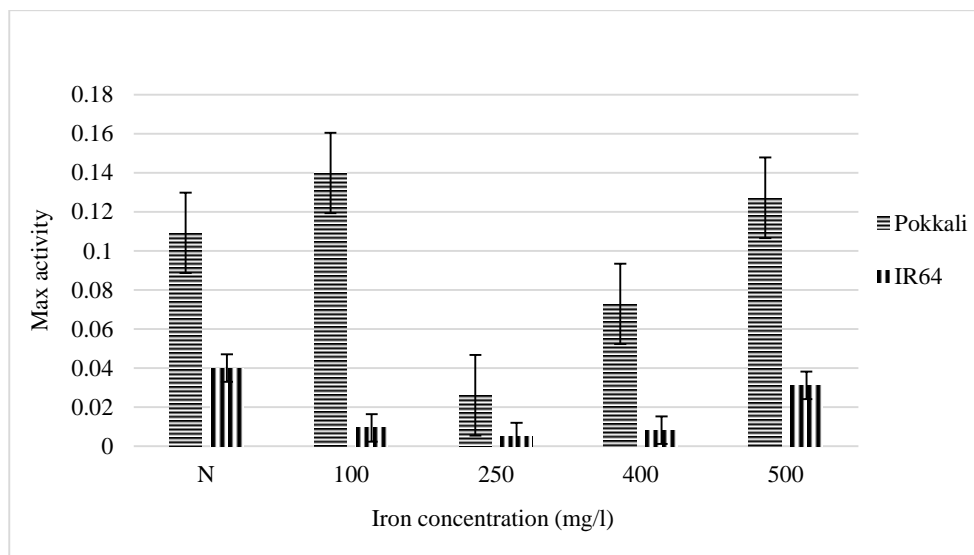
احتمالاً یکی از دلایل تحمل ژنوتیپ Pokkali نسبت به سمیت آهن، افزایش میزان فعالیت آنزیم پراکسیداز در سطوح بیشتر سمیت آهن است. در آزمایشی با اعمال تنش آهن در برنج، فعالیت آنزیم پراکسید در ژنوتیپ متحمل (IR97) حدوداً دو برابر Bode et al., 1995 بیشتر از ژنوتیپ حساس (IR64) گزارش شد. در واقع، افزایش فعالیت آنزیم پراکسیداز سبب کاهش اثر مخرب پراکسیدهیدروژن تحت شرایط سمیت آهن می‌شود (Mehraban et al., 2008).

با افزایش غلظت تنش تا ۵۰۰ میلی‌گرم در لیتر، میزان فعالیت آنزیم پراکسیداز در ژنوتیپ IR64 افزایش یافت و احتمالاً بهدلیل حساسیت این ژنوتیپ به سمیت آهن، با افزایش آن فعالیت آنزیم پراکسیداز کاهش یافت، اما ژنوتیپ Pokkali در سطوح کمتر تنش آهن دارای فعالیت آنزیمی کمتر نسبت به شاهد بود. به نظر می‌رسد که با افزایش غلظت آهن، فعالیت آنزیم پراکسیداز در این ژنوتیپ برای جاروب کردن H_2O_2 ناشی از سمیت آهن افزایش یافته است (Saikia and Baruah, 2013).

مقایسه بیشترین میزان فعالیت آنزیمی در تیمارهای ۱۰۰، ۲۵۰، ۴۰۰ و ۵۰۰ میلی‌گرم در لیتر آهن با شاهد در ژنوتیپ IR64 نشان داد که کاربرد آهن سرعت فعالیت آنزیمی را نسبت به تیمار شاهد کاهش داد. همچنین مقایسه سطوح تیمار ۲۵۰ و ۴۰۰ میلی‌گرم در لیتر آهن با شاهد در ژنوتیپ Pokkali نشان داد که میزان سرعت فعالیت آنزیمی نسبت به شاهد کاهش یافته است، اما میزان سرعت فعالیت آنزیمی نمونه‌هایی که تحت تیمار ۱۰۰ و ۵۰۰ میلی‌گرم در لیتر آهن قرار گرفتند، نسبت به شاهد افزایش یافت (شکل ۶).

میزان فعالیت آنزیم پراکسیداز در کلیه سطوح آهن در ژنوتیپ Pokkali بیشتر از ژنوتیپ IR64 بود، بهطوری که بیشترین میزان فعالیت آنزیمی در ژنوتیپ IR64 در شاهد و تیمار ۵۰۰ میلی‌گرم در لیتر آهن به ترتیب ۳۷۰ و ۳۵۰ میلی‌مولار پراکسیدهیدروژن بود و پس از آن کاهش یافت، در صورتی که فعالیت آنزیمی در ژنوتیپ Pokkali تحت تیمار ۱۰۰ و ۲۵۰ میلی‌گرم در لیتر آهن، در غلظت ۳۱۰ و ۳۵۰ میلی‌مولار پراکسیدهیدروژن به اشباع رسید. در تیمار ۴۰۰ و ۵۰۰ میلی‌گرم در لیتر آهن، ژنوتیپ Pokkali نسبت به ژنوتیپ IR64 در غلظت بیشتری از پراکسیدهیدروژن دارای حداقل فعالیت بود. نقطه اشباع آنزیمی در ژنوتیپ‌های Pokkali و IR64 در سطوح مختلف آهن، متفاوت بود، بهطوری که در سطوح ۱۰۰ و ۲۵۰ میلی‌گرم در لیتر آهن در ژنوتیپ Pokkali کمتر از ژنوتیپ IR64 بود (شکل‌های ۴ و ۵). ژنوتیپ Pokkali که تحت تیمار با سطوح ۱۰۰ و ۲۵۰ میلی‌گرم در لیتر آهن قرار داشت در مقایسه با شاهد، با غلظت کمتری از آهن قرار داشت در اشباع آنزیمی در این سطوح رسید (شکل ۴). احتمالاً میزان فعالیت آنزیمی در این سطوح کمتر از نمونه‌های شاهد بوده است. اما نمونه‌هایی از این ژنوتیپ که تحت تیمار ۴۰۰ و ۵۰۰ میلی‌گرم در لیتر آهن قرار گرفتند، نسبت به تیمار شاهد در غلظت بالاتری از پراکسیدهیدروژن به حالت اشباع رسیدند. احتمالاً با افزایش غلظت آهن میزان فعالیت آنزیم پراکسیداز بیشتر شد تا تولید H_2O_2 ناشی از سمیت آهن را کاهش دهد (Sadeghipour et al., 2008).

در ژنوتیپ IR64 وضعیت متفاوت بود و سطوح ۱۰۰ و ۵۰۰ میلی‌گرم در لیتر آهن نسبت به نمونه‌های شاهد



شکل ۵- فعالیت آنزیم پراکسیداز در غلظت‌های مختلف آهن (میلی گرم بر لیتر) در ژنوتیپ‌های مختلف آهن (Miyazaki et al., 2010) در ژنوتیپ‌های Pokkali و IR64

Figure 5. Activity of peroxidase enzyme at different iron concentrations (mg/l) in Pokkali and IR64 genotypes

ژنوتیپ IR64 نسبت به ژنوتیپ Pokkali پاسخ کندتری در برابر سمیت آهن برای تولید آنزیم پراکسیداز دارد. همچنین، نتایج این تحقیق نشان داد که اعمال تنفس سبب کاهش بیان نسبی ژن *G6PDH* در هر دو ژنوتیپ شد، با این تفاوت که در ژنوتیپ Pokkali با اعمال سطوح کم تنفس، میزان بیان نسبی این ژن کاهش یافت، در حالی که در ژنوتیپ IR64 کاهش بیان این ژن فقط در سطوح بالای تنفس مشاهده شد. کاهش بیان نسبی این ژن در سطوح کم تر تنفس احتمالاً می‌تواند نشان‌دهنده مکانیزم سمزدایی با کمک کاهش NADPH باشد تا از تولید گونه‌های فعال اکسیژن و تنفس اکسیداتیو ناشی از افزایش NADPH جلوگیری کند.

نتیجه‌گیری کلی

نتایج این پژوهش نشان داد که اعمال تنفس آهن در سطوح مختلف سبب تغییرات مرغولوژیک در هر دو ژنوتیپ شد، اما این تغییرات در ژنوتیپ حساس و متتحمل متفاوت بود. فعالیت آنزیم پراکسیداز و بیان نسبی ژن *G6PDH* نیز تحت شرایط تنفس در ژنوتیپ‌های مورد بررسی متفاوت بود. همان‌طور که در این پژوهش مشاهده شد، میزان فعالیت آنزیم پراکسیداز در ژنوتیپ Pokkali با افزایش غلظت آهن بیشتر شد تا احتمالاً از میزان H_2O_2 تولیدی ناشی از سمیت آهن بکاهد. در مقابل، میزان فعالیت آنزیمی در ژنوتیپ IR64 تحت تیمارهای مختلف آهن کمتر از تیمار شاهد بود. احتمالاً تحت تیمار آهن،

References

- Anderson, L. E. and Advani, V. R. 1970.** Chloroplast and cytoplasmic enzymes: Three distinct isoenzymes associated with the reductive pentose phosphate cycle. *Plant Physiology* 45 (5): 583-585.
- Asseng, S., Ritchie, J. T., Smucker, A. J. M. and Robertson, M. J. 1998.** Root growth and water uptake during water deficit and recovering in wheat. *Plant and Soil* 201 (2): 265-273.
- Bin, H., Jingming, Z., Yunrong, W., Ancheng, L. and Ping, W. 1997.** Effect of POD on tolerance to ferrous iron toxicity in rice. *Journal of Zhejiang Agricultural University* 23 (5): 557-560.
- Bode, K., Döring, O., Lüthje, S., Neue, H. U. and Böttger, M. 1995.** The role of active oxygen in iron tolerance of rice (*Oryza sativa*). *Journal of Protoplasma* 184 (1-4): 249-255.
- Bowler, C., Montagu, M. V. and Inze, D. 1992.** Superoxide dismutase and stress tolerance. *Annual Review of Plant Biology* 43 (1): 83-116.
- Briat, J. F., Fobis-Loisy, I., Grignon, N., Lobréaux, S., Pascal, N., Savino, G., Thoiron, S., von Wieren, N. and van Wuytswinkel, O. 1995.** Cellular and molecular aspects of iron metabolism in plants. *Biology of the Cell* 84: 69-81. doi:10.1016/0248-4900(96)81320-7.

- Caverzan, A., Passaia, G., Rosa, S. B., Ribeiro, C. W., Lazzarotto, F. and Margis-Pinheiro, M. 2012.** Plant responses to stresses: role of ascorbate peroxidase in the antioxidant protection. *Journal of Genetics and Molecular Biology* 35 (4): 1011-1019.
- De Dorlodot, S., Lutts, S. and Bertin, P. 2005.** Effects of ferrous iron toxicity on the growth and mineral composition of an interspecific rice. *Journal of Plant Nutrition* 28 (1): 1-20.
- Dufey, I., Hakizimana, P., Draye, X., Lutts, S. and Bertin, P. 2009.** QTL mapping for biomass and physiological parameters linked to resistance mechanisms to ferrous iron toxicity in rice. *Euphytica* 167 (2): 143-160.
- Eicks, M., Maurino, V., Knappe, S., Flügge, U.-I. and Fischer, K. 2002.** The plastidic pentose phosphate translocator represents a link between the cytosolic and the plastidic pentose phosphate pathways in plants. *Plant Physiology* 128 (2): 512-522.
- Fageria, N. K., Santos, A. B., Barbosa Filho, M. P. and Guimarães, C. M. 2008.** Iron toxicity in lowland rice. *Journal of Plant Nutrition* 31 (9): 1676-1697.
- Fang, W. C. and Kao, C. H. 2000.** Enhanced peroxidase activity in rice leaves in response to excess iron, copper and zinc. *Journal of Plant Science* 158 (1-2): 71-76.
- Finatto, T., de Oliveira, A. C., Chaparro, C., Da Maia, L. C., Farias, D. R., Woyann, L. G., Mistura, C. C., Saores-Bresolin, A. P., Llauro, C., Panaud, O. and Picault, N. 2015.** Abiotic stress and genome dynamics: specific genes and transposable elements response to iron excess in rice. *Rice* 8: 13. doi: 10.1186/s12284-015-0045-6.
- Ganjeali, A., Porsa, H. and Bagheri, A. 2011.** Response of yield and morphophysiological characteristics of earliness chickpea genotypes (*Cicer arietinum* L.) under drought stress. *Iranian Journal of Pulses Research* 2 (1): 65-80. (In Persian with English Abstract).
- Heidarvand, L., Amiri, R. M., Naghavi, M. R., Farayedi, Y., Sadeghzadeh, B. and Alizadeh, K. 2011.** Physiological and morphological characteristics of chickpea accessions under low temperature stress. *Russian Journal of Plant Physiology* 58 (1): 157-163.
- Ho, H. Y., Cheng, M. L. and Chiu, D. T. 2007.** Glucose-6-phosphate dehydrogenase: From oxidative stress to cellular functions and degenerative diseases. *Redox Report* 12 (3): 109-118.
- Kibria, M. G., Hossain, M., Murata, Y. and Hoque, M. A. 2017.** Antioxidant defense mechanisms of salinity tolerance in rice genotypes. *Rice Science* 24 (3): 155-162.
- Kjalke, M., Andersen, M. B., Schneider, P., Christensen, B., Schülein, M. and Welinder, K. G. 1992.** Comparison of structure and activities of peroxidases from *Coprinus cinereus*, *Coprinus macrorhizus* and *Arthromyces ramosus*. *Biochimica et Biophysica Acta (BBA)-Protein Structure and Molecular Enzymology* 1120 (3): 248-256.
- Kletzien, R., Harris, P. and Foellmi, L. 1994.** Glucose-6-phosphate dehydrogenase: A "housekeeping" enzyme subject to tissue-specific regulation by hormones, nutrients, and oxidant stress. *The FASEB Journal* 8 (2): 174-181.
- Kruger, N. J. and von Schaewen, A. 2003.** The oxidative pentose phosphate pathway: structure and organisation. *Current Opinion in Plant Biology* 6 (3): 236-246.
- Kukreja, S., Nandwal, A. S., Kumar, N., Sharma, S. K., Unvi, V. and Sharma, P. K. 2005.** Plant water status, H_2O_2 scavenging enzymes, ethylene evolution and membrane integrity of *Cicer arietinum* roots as affected by salinity. *Biologia Plantarum* 49 (2): 305-308.
- Li, J., Chen, G., Wang, X., Zhang, Y., Jia, H. and Bi, Y. 2011.** Glucose-6-phosphate dehydrogenase-dependent hydrogen peroxide production is involved in the regulation of plasma membrane H^+ -ATPase and Na^+/H^+ antiporter protein in salt-stressed callus from *Carex moorcroftii*. *Physiologia Plantarum* 141 (3): 239-250.
- Lipiec, J., Doussan, C., Nosalewicz, A. and Kondracka, K. 2013.** Effect of drought and heat stresses on plant growth and yield: A review. *Journal of International Agrophysics* 27 (4): 463-477.
- Liu, Y., Wu, R., Wan, Q., Xie, G. and Bi, Y. 2007.** Glucose-6-phosphate dehydrogenase plays a pivotal role in nitric oxide-involved defense against oxidative stress under salt stress in red kidney bean roots. *Plant and Cell Physiology* 48 (3): 511-522.
- Majerus, V., Bertin, P., Swenden, V., Fortemps, A., Lobréaux, S. and Lutts, S. 2007.** Organ-dependent responses of the African rice to short-term iron toxicity: Ferritin regulation and antioxidative responses. *Journal of Biologia Plantarum* 51 (2): 303-312.
- Marschner, H. 1995.** Mineral nutrition of higher plants. Second Edition. Academic Press, London.
- Mayak, S., Tirosh, T. and Glick, B. 2004.** Plant growth-promoting bacteria confer resistance in tomato plants to salt stress. *Plant Physiology and Biochemistry* 42: 565-572.

- Mehraban, P. and Abdolzadeh, A.** 2012. Effects of iron excess on the antioxidant activity and patterns of protein electrophoresis in *Oryza sativa* var. Shafagh. **Journal of Plant Production** 19 (1): 85-106.
- Mehraban, P., Abdolzadeh, A. and Sadeghipour, H. R.** 2008. Iron toxicity in rice (*Oryza sativa*), under different potassium nutrition. **Asian Journal of Plant Sciences** 7 (3): 251-259.
- Mohsenzadeh Golfazane, M., Samizadeh Lahiji, H. and Hassani Kumleh, H.** 2017. Investigation of guaiacol peroxidase (GPx) activity in two canola genotype under non-stress and osmotic conditions. **Iranian Journal of Field Crop Science** 48 (1): 71-80. (In Persian with English Abstract).
- Mohsenzadeh Golfazani, M., Pasandideh Arjmand, M., Kordrostami, M., Samizadeh Lahiji, H., Hassani Kumle, H. and Rezadoost, M. H.** 2018. The effect of iron stress on the relative expression level of SOD, MDHR and GPX1 genes in tolerant and sensitive genotypes of rice. **Crop Biotechnology** 8 (24): 1-13. (In Persian with English Abstract).
- Nelson, D. L. and Cox, M. M.** 2000. Lehninger principles of biochemistry. Third Edition. W. H. Freeman Publications.
- Ozyigit, I. I., Filiz, E., Vatansever, R., Kurtoglu, K. Y., Koc, I., Öztürk, M. X. and Anjum, N. A.** 2016. Identification and comparative analysis of H₂O₂-scavenging enzymes (ascorbate peroxidase and glutathione peroxidase) in selected plants employing bioinformatics approaches. **Frontiers in Plant Science** 7: 301.
- Pandey, S., Fartyal, D., Agarwal, A., Shukla, T., James, D., Kaul, T. and Reddy, M. K.** 2017. Abiotic stress tolerance in plants: Myriad roles of ascorbate peroxidase. **Frontiers in Plant Science** 8: 581. doi: 10.3389/fpls.2017.00581.
- Pessarakli, M.** 2019. Handbook of plant and crop stress. Fourth Edition. Boca Raton, FL, CRC Press, Taylor and Francis Group.
- Puangbut, D., Jogloy, S., Vorasoot, N., Akkasaeng, C., Kesmala, T., Rachaputi, R. C. and Patanothai, A.** 2009. Association of root dry weight and transpiration efficiency of peanut genotypes under early season drought. **Agricultural Water Management** 96 (10): 1460-1466.
- Ribeiro, C. W., Korbes, A. P., Garighan, J. A., Jardim-Messeder, D., Carvalho, F. E., Sousa, R. H. and Margis-Pinheiro, M.** 2017. Rice peroxisomal ascorbate peroxidase knockdown affects ROS signaling and triggers early leaf senescence. **Plant Science** 263: 55-65.
- Sadeghipour, H. R., Abdolzadeh, A. and Mehraban Joubani, P.** 2008. Iron toxicity in rice (*Oryza sativa* L.), under different potassium nutrition. **Asian Journal of Plant Sciences** 7 (3): 251- 259.
- Saikia, T. and Baruah, K. K.** 2013. Iron toxicity tolerance in rice (*Oryza sativa*) and its ssociation with anti-oxidative enzyme activity. **Journal of Crop Science** 3 (3): 90-94.
- Vahedi, R., Mohsenzadeh Golfazani, M., Pasandideh Arjmand, M. and Samizadeh Lahiji, H.** 2019. Investigation of relative expression of some genes related to iron-induced toxicity in two varieties of rice (*Oryza sativa*). **Crop Biotechnology** 9 (27): 15-28. (In Persian with English Abstract).
- Wang, X., Ma, Y., Huang, C. Wan, Q., Li, N. and Bi, Y.** 2008. Glucose-6-phosphate dehydrogenase plays a central role in modulating reduced glutathione levels in reed callus under salt stress. **Planta** 227 (3): 611-623.
- Wu, L. B., Shhadi, M. Y., Gregorio, G., Matthus, E., Becker, M. and Frei, M.** 2014. Genetic and physiological analysis of tolerance to acute iron toxicity in rice. **Rice** 7 (1): 8. doi: 10.1186/s12284-014-0008-3
- Yamasaki, H., Sakihama, Y. and Ikehara, N.** 1997. Flavonoid-peroxidase reaction as a detoxification mechanism of plant cells against H₂O₂. **Plant Physiology** 115 (4): 1405-1412.
- Yoshida, S., Fomo, D. A. and Cock, J. H.** 1976. Laboratory manual for physiological studies of rice. International Rice Research Institute, Los Banos, Philippines.



University of Guilan
Faculty of Agricultural
Sciences

Cereal Research
Vol. 9, No. 3, Autumn 2019 (207-220)

doi: 10.22124/cr.2020.15255.1545

The effect of iron toxicity on some of morphological traits, relative gene expression of *G6PDH* and peroxidase enzyme activity in resistant and susceptible genotypes of Rice (*Oryza sativa*)

Mohammad Mohsenzadeh Gofazani^{1*}, Maryam Pasandideh Arjmand², Hassan Hassani Kumleh³, Habibollah Samizadeh Lahiji⁴, Rasool Vahedi⁵ and Sahar Ramezan-zadeh Bishegahi⁶

Received: September 23, 2019

Accepted: December 3, 2019

Abstract

Under the iron toxicity conditions, one of the most important limiting factors of rice production in agricultural lands is the increase of active oxygen radicals and thus decrease of plant growth and development. In this study, the effect of iron induced toxicity at 0 (control), 100, 250, 400 and 500 mg/l (Fe-EDTA) levels were investigated on some morphological traits, relative expression of G6PDH photosynthetic gene and activity of peroxidase enzyme in two rice genotypes, Pokkali (tolerant) and IR64 (susceptible), at four-leaf growth stage under hydroponic conditions with Yoshida nutrient solution. The experiment was carried out as factorial with two factors, genotype and iron concentration (two and five levels, respectively), in a completely randomized design with three replications. The results showed that the interaction of iron toxicity and genotype had significant effect on all studied traits except root dry weight. Cluster analysis using farthest neighbor divided the ten studied treatments into two separate groups. Principal component analysis showed also that 66% of the total variation was explained by two principal components. Applying iron toxicity stress reduced the relative expression of *G6PDH* gene in both genotypes, except that the relative expression of this gene in the Pokkali genotype decreased with the application of low stress levels, but in the IR64 genotype, the decrease in expression of this gene observed only at high stress levels. The lowest activity of peroxidase enzyme was observed in both Pokkali and IR64 genotypes at 100 mg/l iron and the highest activity were observed at 400 and 250 mg/l, respectively. It seems that decreasing the expression of *G6PDH* gene at low stress levels and increasing the activity of peroxidase enzyme in the tolerant genotype can reduce the amount of hydrogen peroxide induced by iron toxicity.

Keywords: IR64, Pokkali, Real-Time-PCR

1. Assist. Prof., Dept. of Agricultural Biotechnology, Faculty of Agricultural Sciences, University of Guilan, Rasht, Iran

2. Ph. D. Student, Dept. of Agricultural Biotechnology, Faculty of Agricultural Sciences, University of Guilan, Rasht, Iran

3. Assoc. Prof., Dept. of Agricultural Biotechnology, Faculty of Agricultural Sciences, University of Guilan, Rasht, Iran

4. Prof., Dept. of Agricultural Biotechnology, Faculty of Agricultural Sciences, University of Guilan, Rasht, Iran

5. M. Sc. Graduated, Dept. of Agricultural Biotechnology, Faculty of Agricultural Sciences, University of Guilan, Rasht, Iran

6. M. Sc. Graduated, Dept. of Agricultural Biotechnology, Faculty of Agricultural Sciences, University of Guilan, Rasht, Iran

* Corresponding author: mohsenzadeh_mohammad@yahoo.com